

③ 大規模溶岩流のドリルマップ

大規模溶岩流のドリルマップにおける計算開始点の配置一覧図（図 5.3-3）及び大規模溶岩流のシミュレーション結果として全 69 枚のドリルマップ（L1～L69）を 89～98 ページに掲載する。

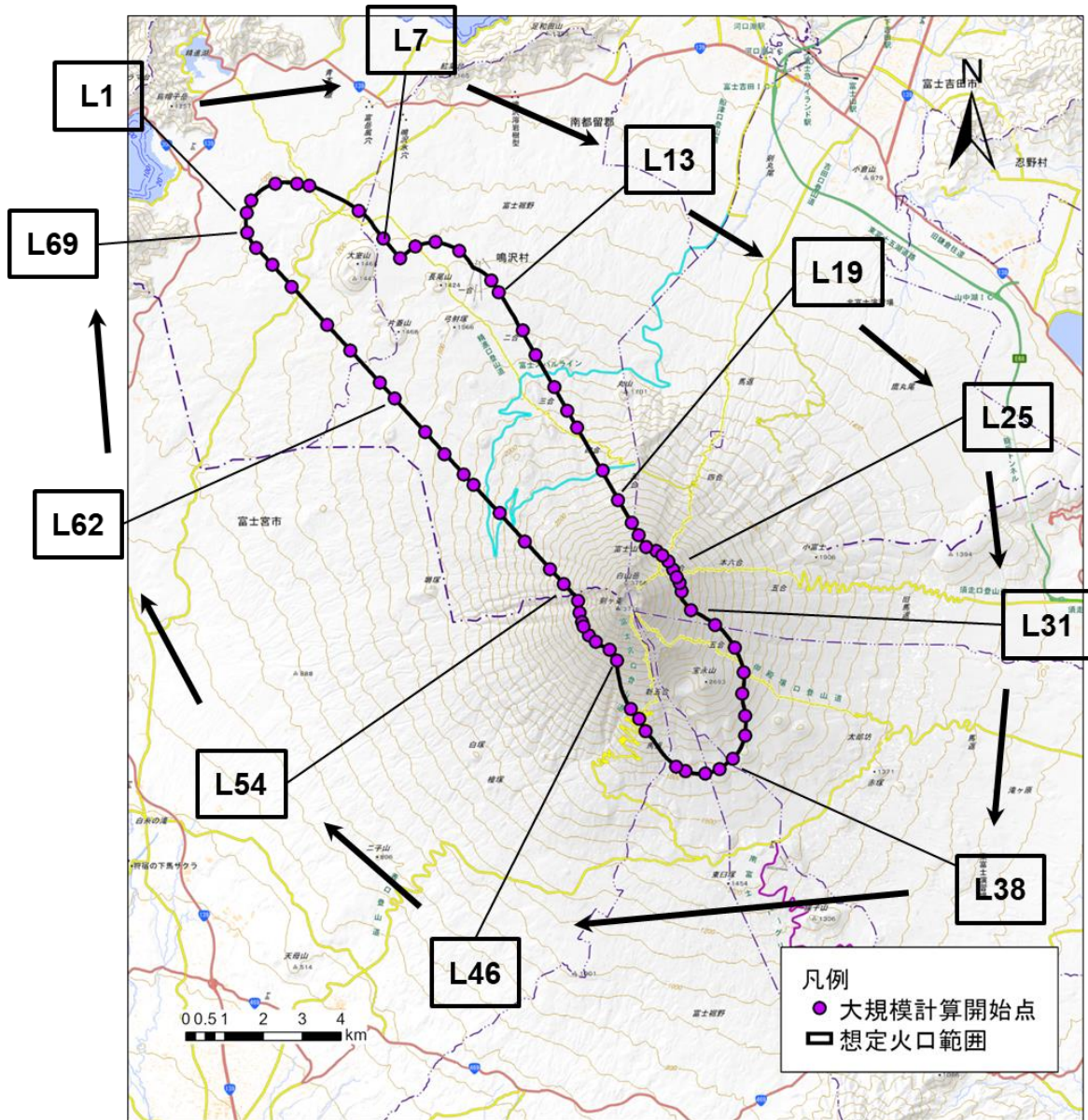
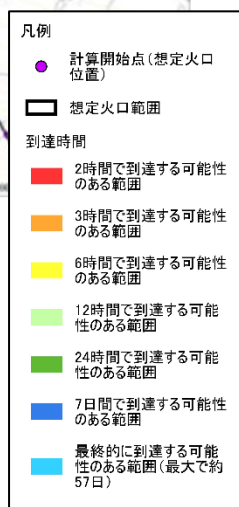
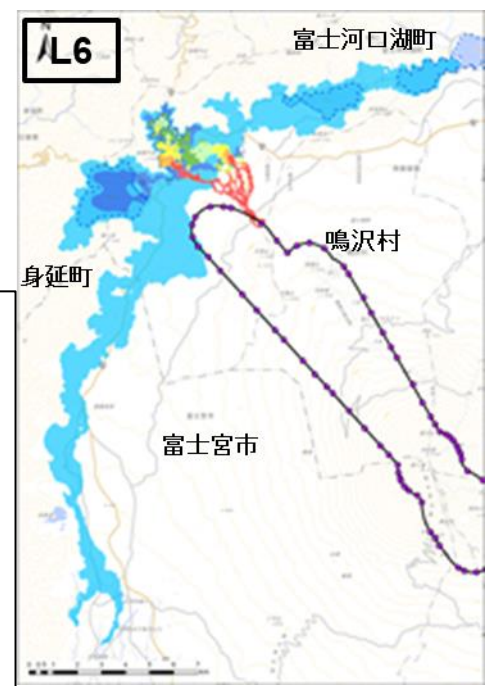
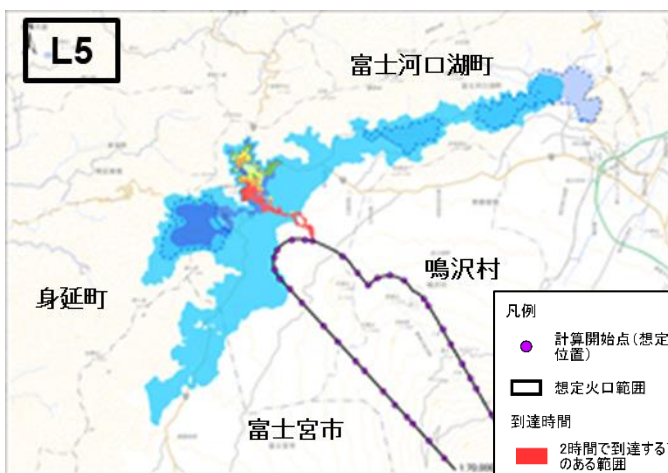
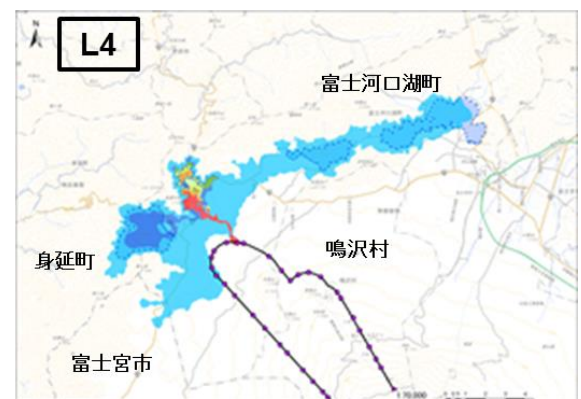
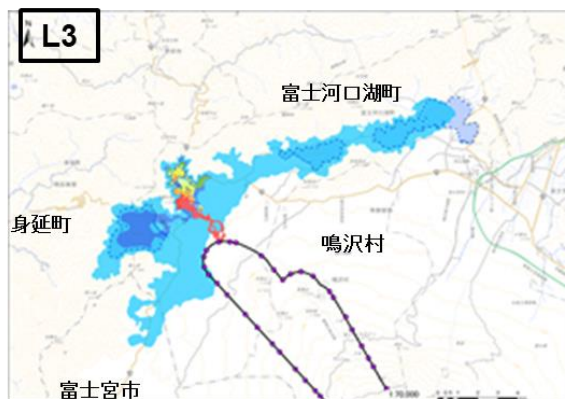
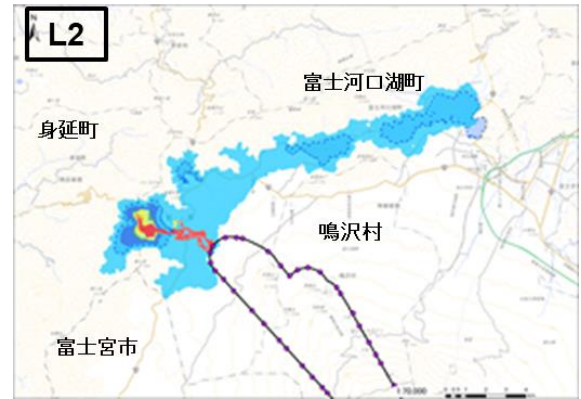
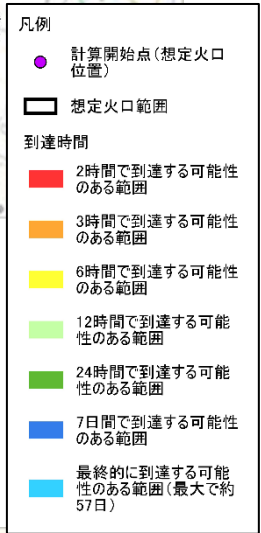
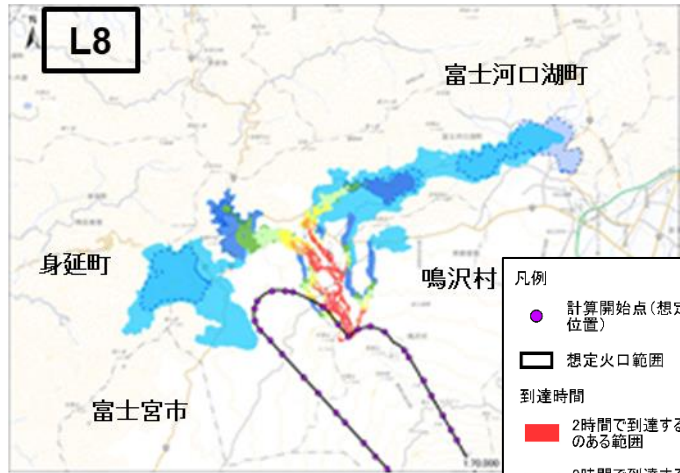


図 5.3-1 大規模溶岩流のドリルマップ 計算開始点位置一覧図



※ 計算開始点から大規模噴火の溶岩流が発生した場合の計算結果であり、これら以外の場所で噴火が発生した場合は、異なる結果となる。





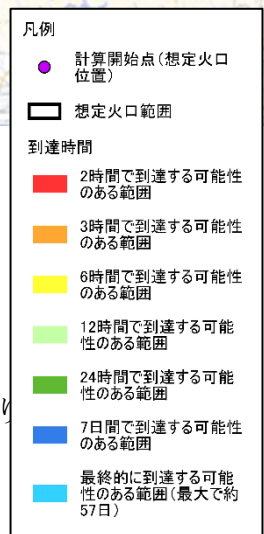
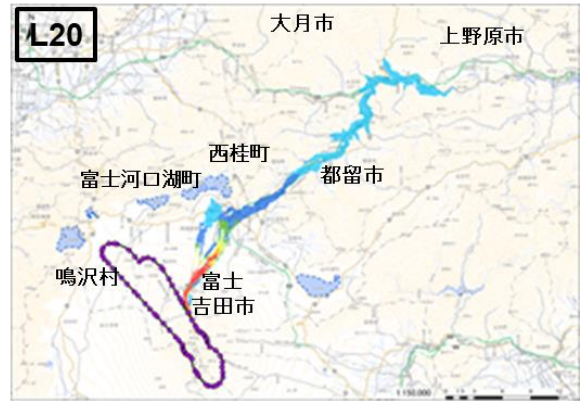
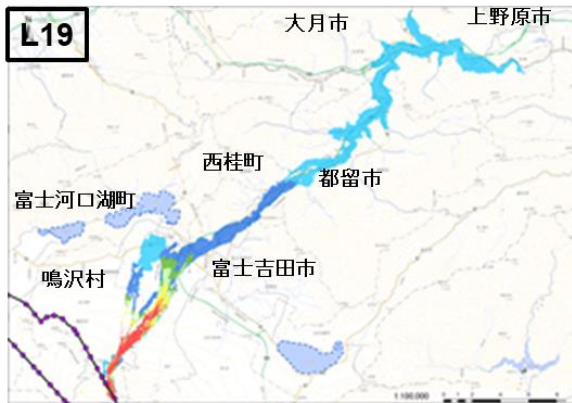
計算開始点から大規模噴火の溶岩流が発生した場合の計算結果であり、これら以外の場所で噴火が発生した場合は、異なる結果となる。



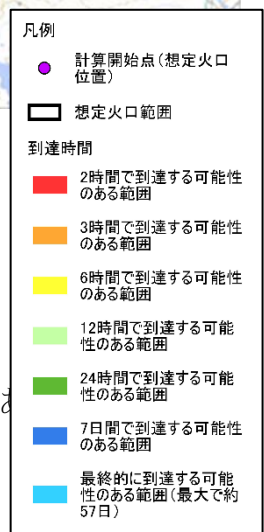
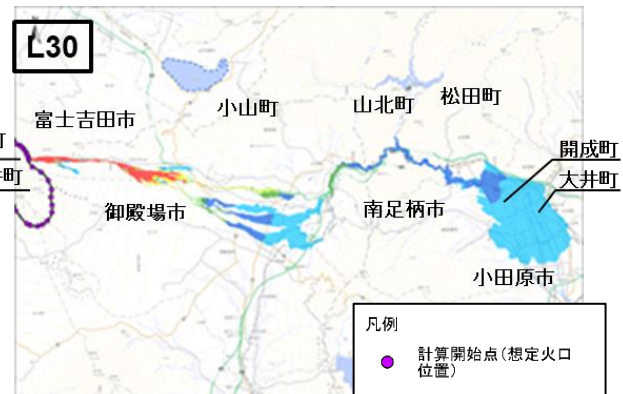
- 凡例
- 計算開始点(想定火口位置)
  - 想定火口範囲
- 到達時間
- 2時間で到達する可能性のある範囲
  - 3時間で到達する可能性のある範囲
  - 6時間で到達する可能性のある範囲
  - 12時間で到達する可能性のある範囲
  - 24時間で到達する可能性のある範囲
  - 7日間で到達する可能性のある範囲
  - 最終的に到達する可能性のある範囲(最大で約57日)

計算開始点から大規模噴火の溶岩流が発生した場合の計算結果であり、他の場所で噴火が発生した場合は、異なる結果となる。



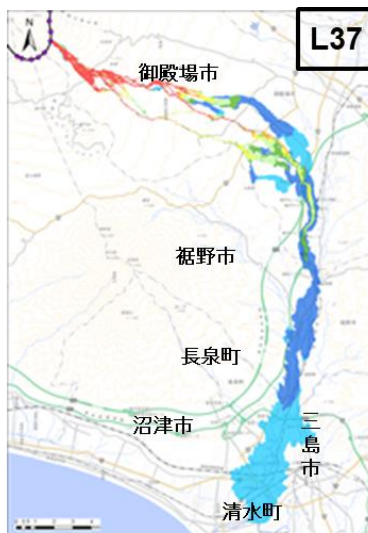
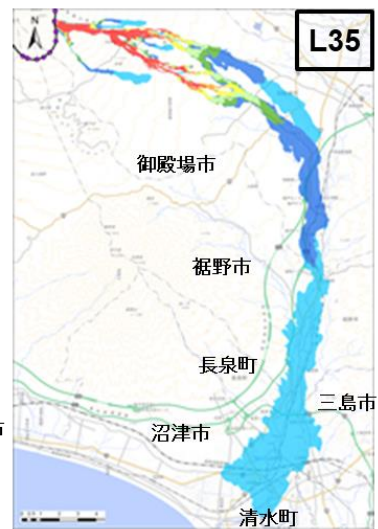
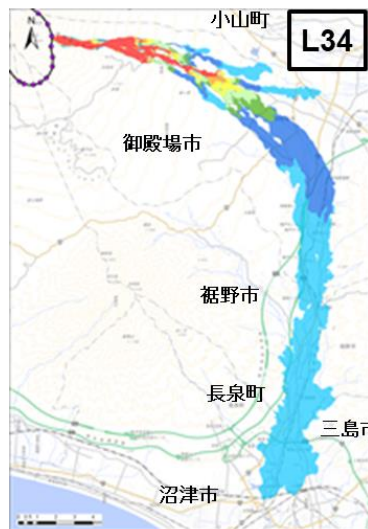
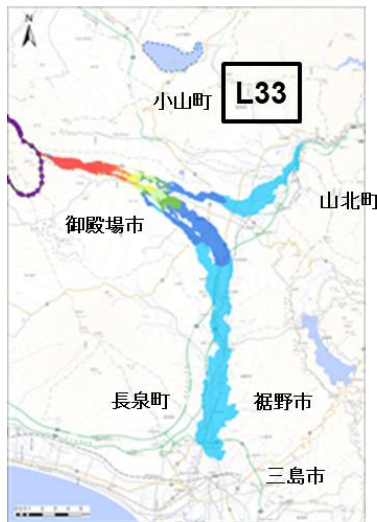
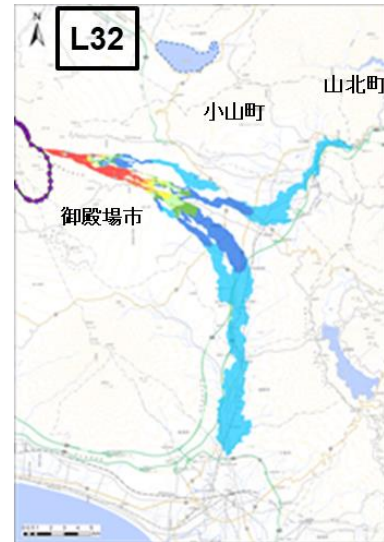
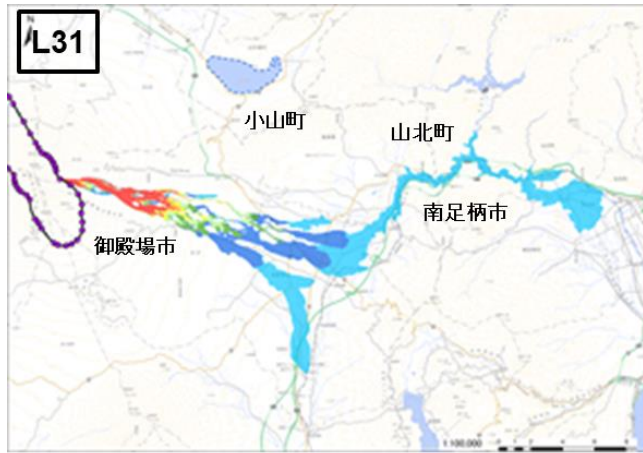


計算開始点から大規模噴火の溶岩流が発生した場合の計算結果であり、他の場所で噴火が発生した場合は、異なる結果となる。

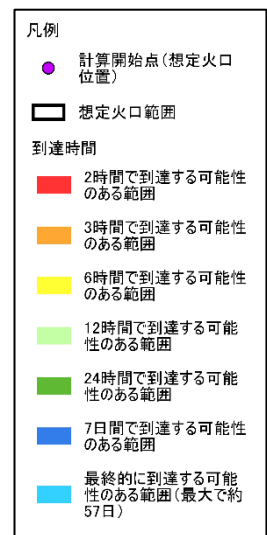
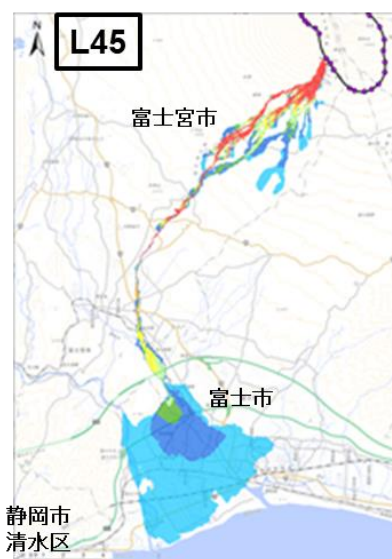
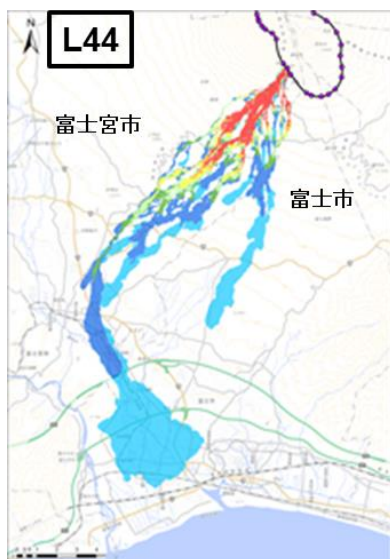
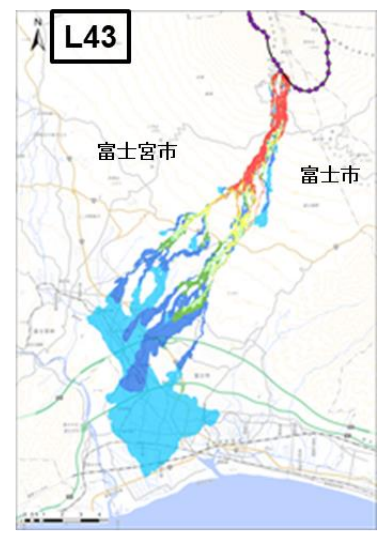
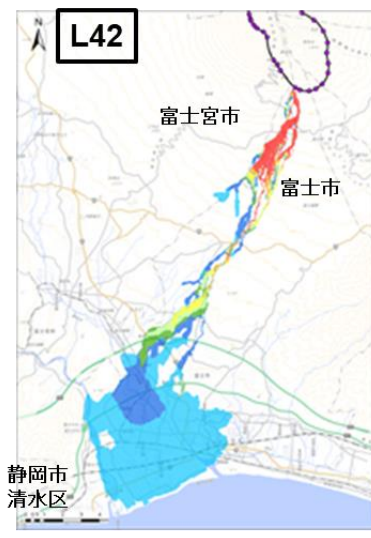
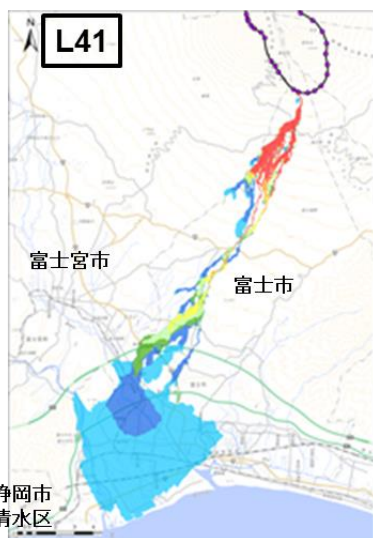
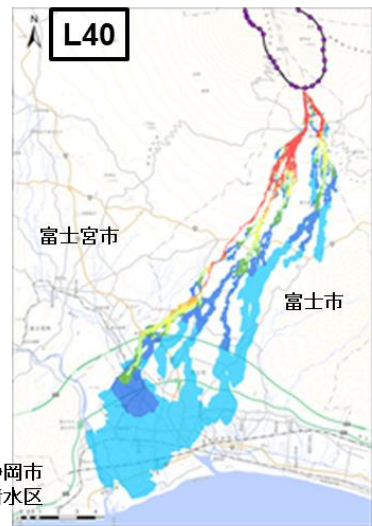
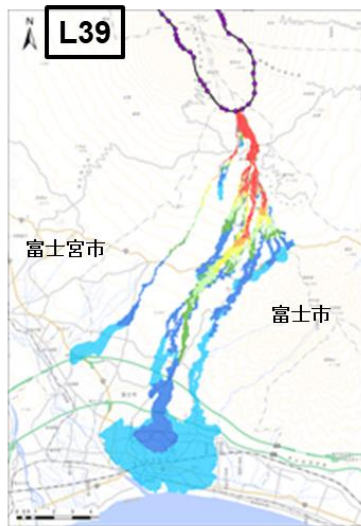


計算開始点から大規模噴火の溶岩流が発生した場合の計算結果であり、他の場所で噴火が発生した場合は、異なる結果となる。



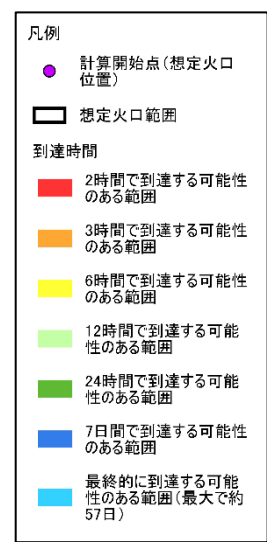
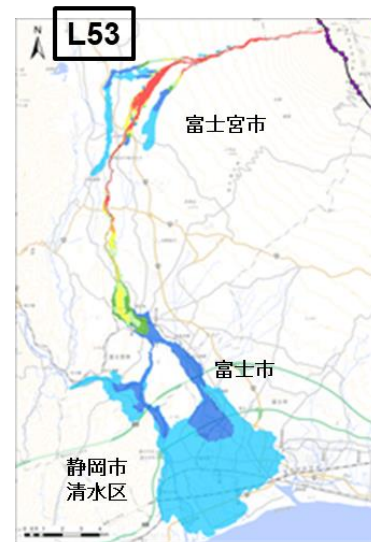
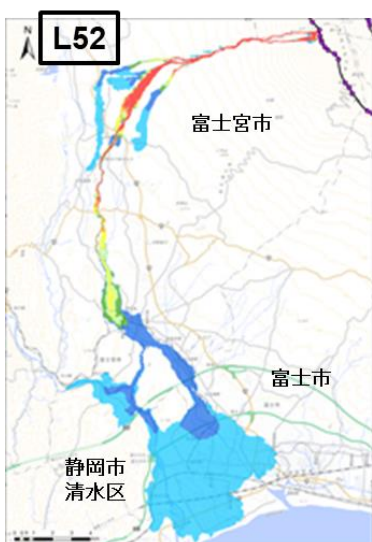
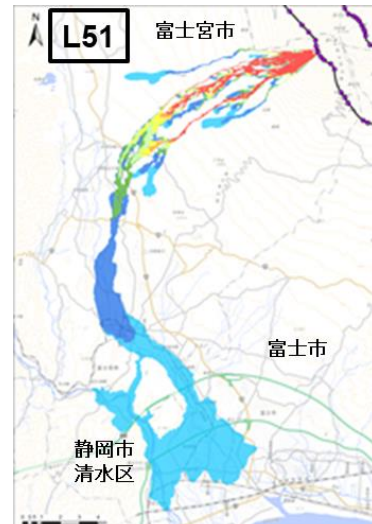
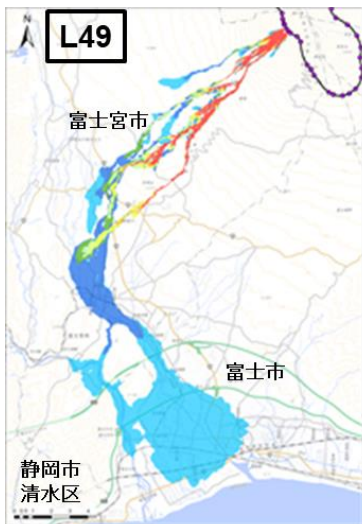
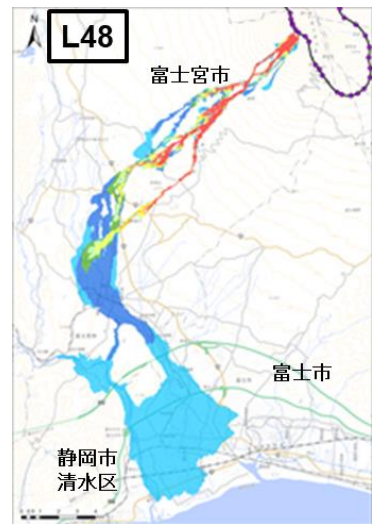
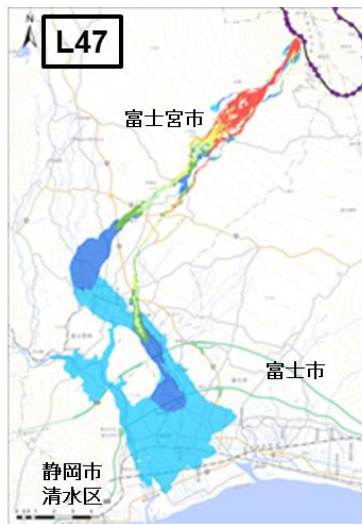


※ 計算開始点から大規模噴火の溶岩流が発生した場合の計算結果であり、これら以外の場所で噴火が発生した場合は、異なる結果となる。

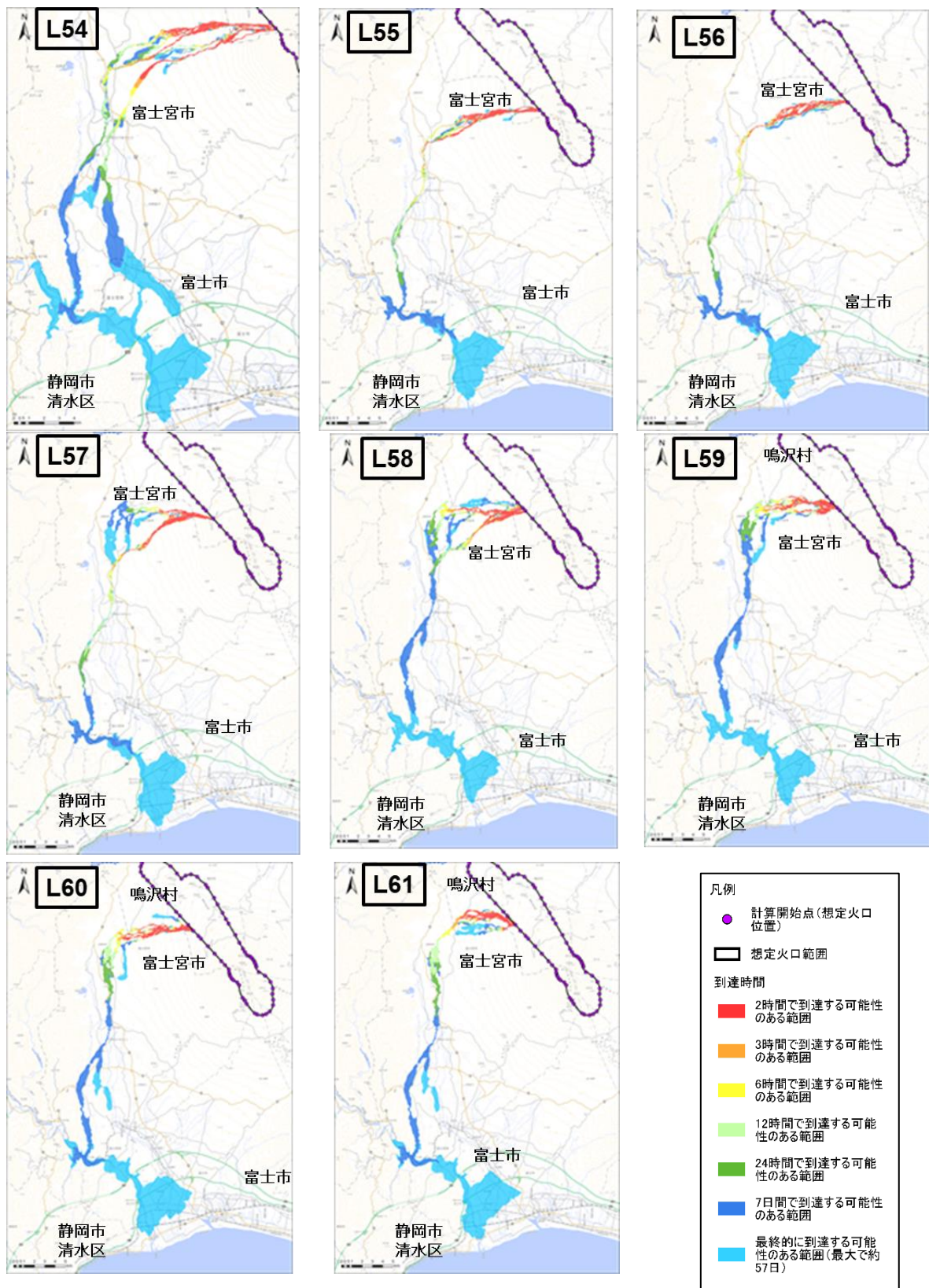


※ 計算開始点から大規模噴火の溶岩流が発生した場合の計算結果であり、これら以外の場所で噴火が発生した場合は、異なる結果となる。



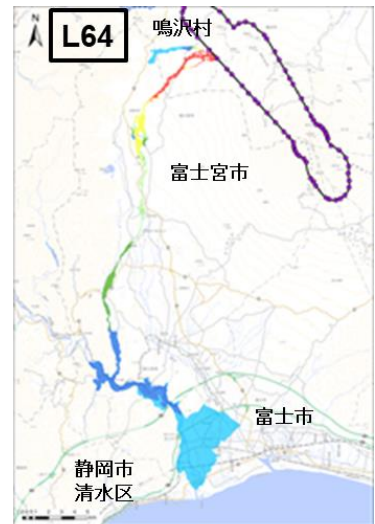


※ 計算開始点から大規模噴火の溶岩流が発生した場合の計算結果であり、これら以外の場所で噴火が発生した場合は、異なる結果となる。

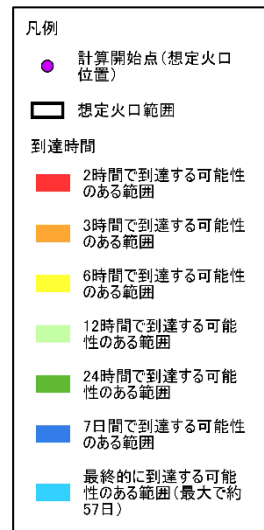


※ 計算開始点から大規模噴火の溶岩流が発生した場合の計算結果であり、これら以外の場所で噴火が発生した場合は、異なる結果となる。





富士河口湖町



計算開始点から大規模噴火の溶岩流が発生した場合の計算結果であり、これら以外の場所で噴火が発生した場合は、異なる結果となる。